#### ЛИГЕРАТУРА

- Мхитарян А. М., Александрян Г. А., Атаян Э. А. Водный баланс озера Севан. Результаты комплексных исследований по севанской проблеме, г. 1. Ереван, 1961.
- 2. Сванидзе Г. Г. Метолика стохастического моделирования гидрологических рядов и некоторые попросы многодетнего регулирования речного стока Тр Института энергетики АН ГрузССР, т. XIV Тбилиси, 1961.

### HRHPAX .1 .W.

## СТЕНД ДЛЯ ТАРНРОВКИ ДАТЧИКОВ КОЛЕБАТЕЛЬНОГО ДВИЖЕНИЯ

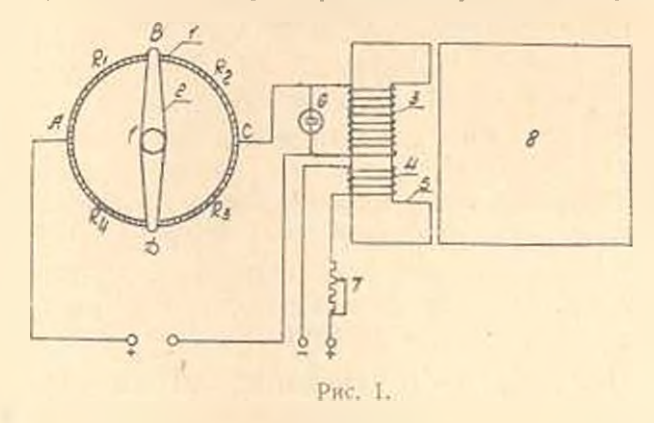
Испытание сооружений натурных размеров или их моделей на динамическую нагрузку требует предварительной тарировки намерительной аппаратуры. В последнее время для измерения колебательного движения часто применяются датчики сейсмического типа.

Наибольшее распространение получили индукционные (динамические) датчики, э.д.с. которых на выходе проворционально скорости колебательного движения. Однако с появлением тензометрических осциллографов с низкочастотным гальванометром и интеграторами и дифференциаторами удается в узком диапазоне частот записать смещение или ускорение колебательного движения. К таким датчикам относятся СПМ—16, К—001 ВПБ, СПН ВЭГИК, жидкостные акселерографы и другие. При применении этих датчиков часто определение чувствительности и частотной характеристики, производится косвенными методами. Однако из экспериментов видно, что косвенный метод тарировки дает расхождение с прямым методом.

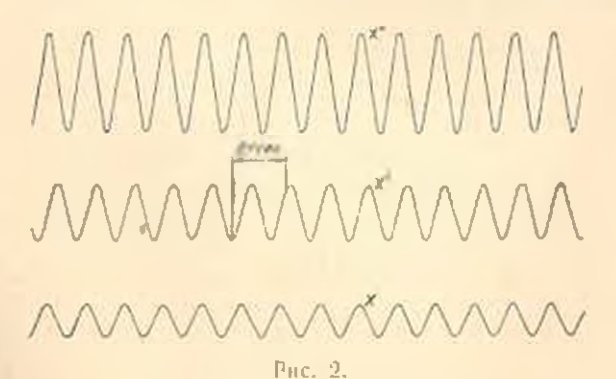
Имеющиеся вибрационные стенды, особенно с механическим приводом (кривошинные или эксцентриковые) не полностью отвечают всем требованиям предъявляемым к тарировочным стендам, из-за затруднения в регулировке амплитуды колебанкя, а также возникновения плразитных вибрация. В электродинамических вибрационных стендах получивших широкое распространение трудно получить низкочастотные колебания [1]. Предложенный ранее нами лабораторный вибрационный стол [2] позволяет получать колебательные движения с частотой от 1 до 200 гд, но имеет (малую мощность на выходе. В этой заметке предлагается метод получения токов низкой частоты необходимой мощности. Принципиальная схема показана на рис. 1, пренции работы которого заключается в следующем: При врашении ползунка 2 на участке АС создается переменное сопротивление от минямума при совпадении ползунка с точками АС до максимума в точке ВД, где полное сопротивление при этом будет

$$\frac{1}{R_a} = \left(\frac{1}{R_1} + \frac{1}{R_2}\right) + \left(\frac{1}{R_2} + \frac{1}{R_4}\right).$$

При подключении цепи постоянного тока, вследствие переменности сопротивления 1, в катушке 5 создается пульсирующее магцитное поле, частота которого равна числу оборотов ползунка 2. Устранение влияния



искрообразования в контактах полаунка на электромагнит достигается подключением в цень катушки конденсатора б. Для компенсации начального магнитного поля прелусмотрена компенсационная обмотка 4, создающая магнитное поле обратного знака. Необходимая для компенсиции магнитного поля сила тока катушки 4 регулируется реостатом 7. Таким образом, при вращении ползунка 2 в катушке 5 создается пульсирующее магнитное поле с напряженностью от нуля до какойто величины, которое создает вынужденное колебательное движение вибрационного стола 8. При этом сила магнитного поля в диапазоне низких частот практически не зависит от скорости вращения ползунка 2, из-за незначительной величины реактивного сопротивления обмотки 3, и всецело зависит от величины силы тока питания.



Описанным методом можно получить колебательное движение вибростола необходимой частоты и мощности. Требуемое число оборотов можно получать с помощью мотора постоянного тока с применением редуктора. Для повышения эффективности электромагнита частота собственных колебания вибростола должна быть равной частоте пульсирующего тока, что достигается изменением жесткости стола.

Конструкция вибростола подробно описана в [2]. В осуществленном вибростоле частоту колебаний можно изменять в пределах от нуля до 100 герц при полном отсутствии паразитных колебаний.

На рис. 2 приведена запись смещения, скорости и ускорения вибростола,

AHCM

Поступило 19,5, 1965

#### ЛИТЕРАТУРА

I. Нориш Ю. Н. Измерение инбрации. Маштит, М., 1956.

 Хачиян М. Г. Лабораторный вибрационный стол. Плиестия — АН АрмССР гом XV, № 6, 1962.

#### M. C. MHERH

# О МАГНИТНОЙ ТЕКСТУРЕ, СОЗДАВАЕМОЙ ПРИ НИЗКИХ ТЕМПЕРАТУРАХ, ОХЛАЖДЕНИЕМ В МАГНИТНОМ ПОЛЕ

Изменение свойств феррита кобяльта, при охлаждении образца до минусовых температур, в присутствии поля наблюдалось С. А. Медведевым. При исследовании автором феррита никеля с вариацией  $\mathrm{Fe_2O_3}$  от 48 мол  $^{\circ}$  о 52 мол  $^{\circ}$ 0 наблюдался подобный эффект. Вис-

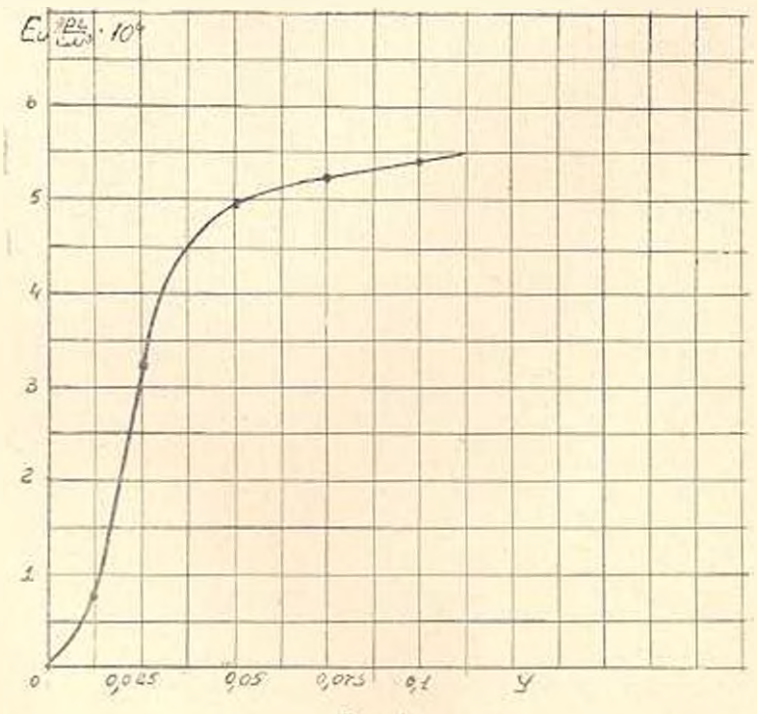


Рис. 1.

сте с гем выявился ряд закономерностей, и, что в особенности примечательно, изменение намагниченности насыщения, различное для изаимноперлендикулярных направлений текстурированного образца в зависимостя от недостатка или избытка  $Fe_2O_3$ . При данном значении